

**UDC 547.783**

**NUCLEOPHILIC SUBSTITUTION AT NITROGEN  
AS WAY OF CREATING OF P-N BOND**

**Shtamburg V.G.<sup>1</sup>, Klots E.A.<sup>1</sup>, Kravchenko S.V.,<sup>2</sup> Anishchenko A.A.<sup>3</sup>,  
Shishkina S.V.<sup>4</sup>, Mazepa A.V.<sup>5</sup>**

<sup>1</sup>*Ukrainian State University of Chemical Technology*

<sup>2</sup>*Dnipro State Agrarian and Economic University*

*svtailor@ukr.net*

<sup>3</sup>*Oles Gonchar Dnipro National University*

<sup>4</sup>*Institute of Organic Chemistry of National Academy of Sciences of Ukraine*

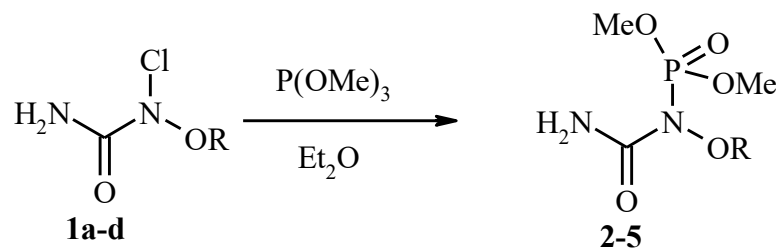
<sup>5</sup>*A.V. Bogatsky Physico-Chemical Institute*

*of National Academy of Sciences of Ukraine*

The different kinds of the substituted ureas use as pharmaceutical materials. The chemical properties of *N*-alkoxy-*N*-chloroureas allow to create the new reaction strategies that give access to such new biological relevant scaffolds. But the nucleophilic substitution of the chlorine atom in *N*-alkoxy-*N*-chloroureas by *P*-nucleophile remained unstudied.

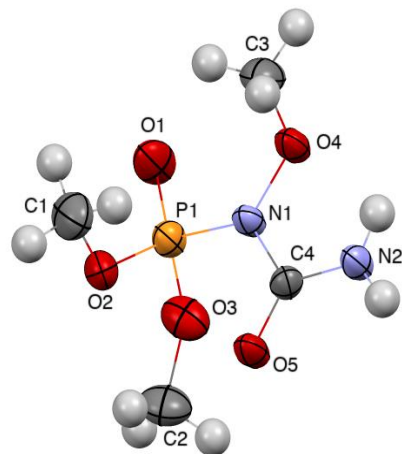
As a rule the common *N*-phosphorylureas are obtained as the result of the amines interaction with dialkyl isocyanatidophosphate, e.g. [1,2]. But the interaction of *N*-alkoxy-*N*-chloroureas with trimethyl phosphite or triphenylphosphine had never been reported before. The *N*-alkoxy-*N*-chloroureas interaction with *P*-nucleophiles had not been reported as well. The synthesis of the *N*-phosphorylureas from other *N*-chloroureas is either unknown.

We have studied the interaction *N*-alkoxy-*N*-chloroureas **1a-d** with trimethyl phosphite in ether. The *N*-alkoxy-*N*-chloroureas **1a-d** react with trimethyl phosphite selectively forming the *N*-alkoxy-*N*-phosphorylureas **2-5** [3].

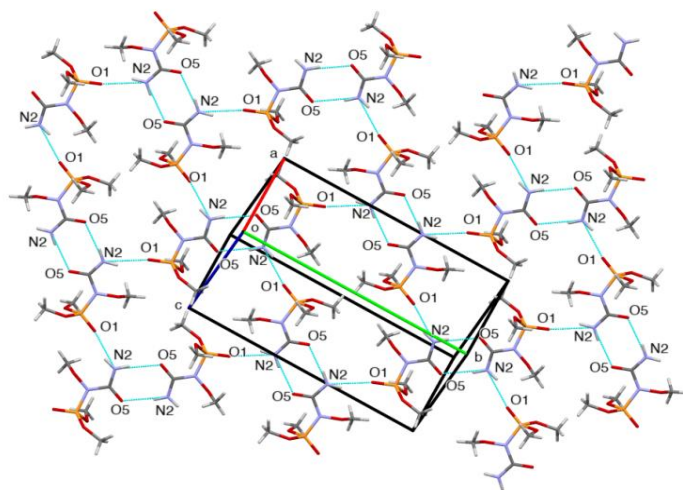


R=Me(**1a,2**), Et(**1b,3**), n-Bu(**1c,4**), i-Pr(**1d,5**)

The structure of *N*-alkoxy-*N*-phosphorylureas **2–5** has been proved by the  $^1\text{H}$ ,  $^{13}\text{C}$ ,  $^{31}\text{P}$  NMR spectra and mass spectra. Also, its structure of compounds **2,4** has been confirmed by the XRD study [3].



Molecular structure of *N*-methoxy-*N*-(dimethoxyphosphoryl)urea **2** according to X-ray diffraction data. Thermal ellipsoids are shown with 50% probability.



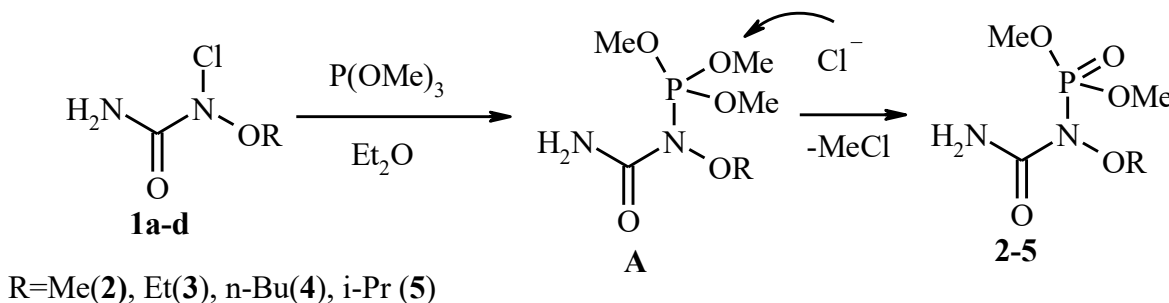
The layer formed by hydrogen bonds (cyan dotted lines) between molecules *N*-methoxy-*N*-(dimethoxyphosphoryl)urea **2**.

In compounds **2, 4** both nitrogen atoms have planar configuration. The

carbamoyl group and the N–O bond lie within the plane. Thus, it has been found that *N*-alkoxy-*N*-(dimethoxyphosphoryl)ureas have a number of structural features different from those of anomeric ureas [4–7].

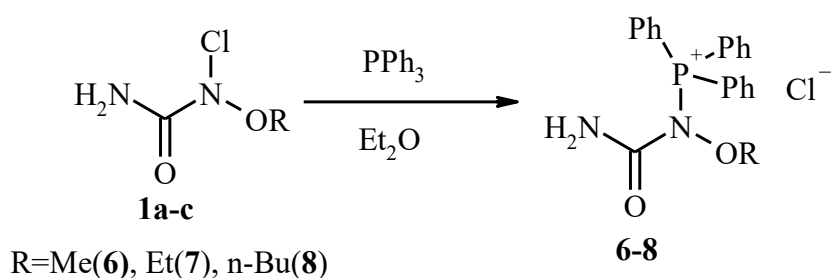
The obtained *N*-alkoxy-*N*-(dimethoxyphosphoryl)ureas **2–5** are the products of the nucleophilic substitution at nitrogen. This reaction is new synthetic route to the *N*-phosphorylureas.

It may be proposed this is another possible mechanism of *N*-alkoxy-*N*-phosphorylureas **2–5** formation.



At the first stage the labile *N*-alkoxy-*N*-(trimethoxyphosphonium)urea chlorides **A** formed by the nucleophilic substitution at the nitrogen in the *N*-alkoxy-*N*-chloroureas **2a–c**. At the second stage the *O*-demethylation of the intermediate **A** by the chloride anion takes place (this is the kind of Arbuzov reaction). It yields *N*-alkoxy-*N*-(dimethoxyphosphoryl)ureas **2–5**.

We had found that *N*-alkoxy-*N*-chloroureas **1a–c** interact with triphenylphosphine selectively yielding the compounds **6–8**.



The structure of *N*-alkoxy-*N*-(triphenylphosphonium)ureas chlorides **6–8** has been characterized by the  $^1\text{H}$ ,  $^{13}\text{C}$  and  $^{31}\text{P}$  NMR spectra. These compounds easily decompose by the action of the moisture of air and in the protonic solvents.

Thus, the possibility of the N–P bond formation by *N*-alkoxy-*N*-chloroureas interaction with *P*-nucleophiles had became clear. This result has a significant value for the better understanding of the synthetic importance of *N*-alkoxy-*N*-chloroureas.

Thus compounds **2–8** are the unknown kinds of *N*-alkoxyureas and may be regarded as the potential biologically active scaffolds.

#### References:

1. Shatrava Iu., Ovchinnikov V., Gubina K., Shishkina S., Shishkin O., Amirkhanov V. (2016). Varieties in structures of Co(II), Ni(II) and Cu(II) coordination compounds based on dimethyl pyridin-2-ylcarbamoylphosphoramidate. Structural Chemistry, 27( 5), 1413–1425.
2. Carboni M., Michael A., Carter W., Liu S., Lin W. (2013). Highly porous and stable metal–organic frameworks for uranium extraction. Chemical Science., 4, (6), 2396–2402.
3. Shtamburg V.G., Klots E.A., Shtamburg V.G., Anishchenko A.A., Shishkina S.V., Mazepa A.V. (2023). Nucleophilic substitution at nitrogen atom. *N*-Alkoxy-*N*-(dimethoxyphosphoryl)ureas, synthesis and structure. J. Mol. Struct., 1277, (5), 134865. <https://doi.org/10.1016/j.molstruc.2022.134865>.
4. O.V. Shishkin, R.I. Zubatyuk, V.G. Shtamburg, A.V. Tsygankov, E.A. Klots, A.V. Mazepa, R.G. Kostyanovsky. (2006). Pyramidal Amide Nitrogen in *N*-Acyloxy-*N*-alkoxyureas and *N*-Acyloxy-*N*-alkoxycarbamates. Mendeleev Commun., 16 (4), 222–223. <https://doi.org/10.1070/MC2006v016n04ABEH002195>
5. V.G. Shtamburg, O.V. Shishkin, R.I. Zubatyuk, S.V. Kravchenko, A.V. Tsygankov, A.V. Mazepa, E.A. Klots, R.G. Kostyanovsky. (2006). *N*-Chloro-*N*-alkoxyureas: synthesis, structure and properties. Mendeleev Commun., 16 (6), 323–325. <https://doi.org/10.1070/MC2006v016n06ABEH002382>
6. V.G. Shtamburg, O.V. Shishkin, R.I. Zubatyuk, S.V. Kravchenko, V.V. Shtamburg, V.B. Distanov, A.V. Tsygankov, R.G. Kostyanovsky. (2007). Synthesis, structure and properties of *N*-alkoxy-*N*-(1-pyridinium)urea salts, *N*-alkoxy-*N*-acyloxyureas and *N,N*-dialkoxyureas. Mendeleev Commun., 17 (3), 178–180. <https://doi.org/10.1016/j.mencom.2007.05.016>
7. O.V. Shishkin, V. G. Shtamburg, R. I. Zubatyuk, D.A. Olefir, A.V. Tsygankov, A.V. Prosvanik, A.V. , Mazepa, R.G. Kostyanovsky. (2009). Chiral Ureas with Two Electronegative Substituents at 1-*N* and Unusual Case of Coexisting a Pyramidal and Almost Planar 1-*N* in The Same Crystal, Chirality, 21 (7), 642–647. <https://doi.org/10.1002/chir.20668>

**СИНТЕЗ ТА АНТИМІКРОБНА АКТИВНІСТЬ НОВИХ  
ФУНКЦІОНАЛІЗОВАНИХ ТРИФЕНІЛФОСФОНІЄВИХ СОЛЕЙ**

Музичка Л.В.<sup>1</sup>, Гуменюк Н.І.<sup>2</sup>, Смолій О.Б.<sup>1</sup>, Вринчану Н.О.<sup>2</sup>

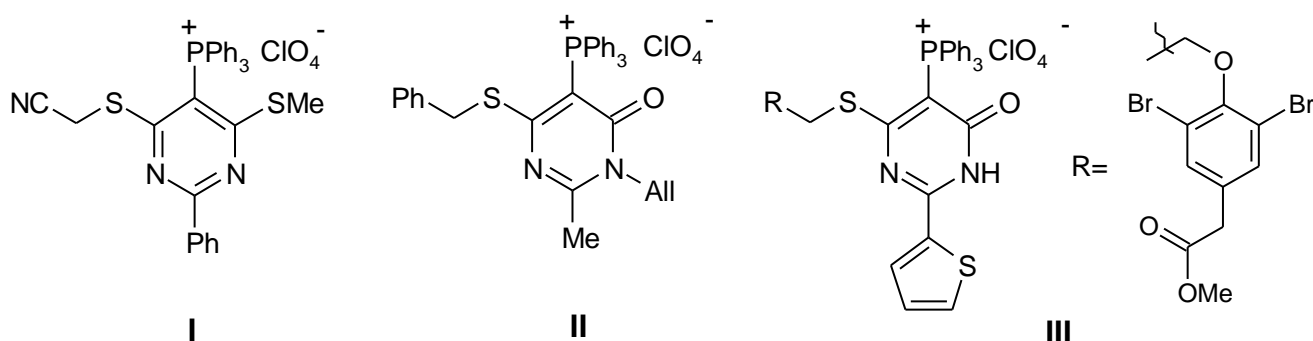
<sup>1</sup>*Інститут біоорганічної хімії та нафтохімії ім. В.П. Кухаря НАН України*  
вул. Академіка Кухаря, 1, 02094, м. Київ

<sup>2</sup>*ДУ «Інститут фармакології та токсикології НАМН України»*  
вул. Антона Цедіка, 14, 03057, м. Київ

*liubovmizychka@gmail.com*

Поширення резистентності мікроорганізмів до антимікробних препаратів протягом останніх десятиліть привело до необхідності пошуку нових ефективних речовин з антибактеріальною активністю. Чималий інтерес до сполук онієвої природи, зокрема фосфонієвих похідних, зумовлений широким спектром антимікробної активності четвертинних фосфонієвих солей [1, 2]. Серед сполук трифенілфосфонію маловивченими на сьогодні залишаються антимікробні властивості фосфонієвих солей гетероциклічного ряду, в тому числі функціональнозаміщених похідних піримідину.

З метою пошуку перспективних антимікробних агентів були отримані нові функціоналізовані трифенілфосфонієві солі (**I-III**) шляхом циклізації продуктів приєднання трифенілфосфораніліденацетонітрилу до ацилізотіоціанатів з подальшим N-, S-алкілюванням [3].



Дослідження антимікробної активності функціоналізованих трифенілфосфонієвих солей проводили відносно клінічних ізолятів грампозитивних (*S. aureus* 222) та грамнегативних (*P. aeruginosa* 449) бактерій з визначенням

мінімальної інгібуючої концентрації (МІК) [4]. Штам *S. aureus* 222 є метицилінрезистентним (MRSA), що підтверджено попередніми дослідженнями.

Отримані дані свідчать, що досліджувані сполуки **I** та **II** виявляють виразну антистафілококову активність щодо *S. aureus* 222, МІК сполуки **I** становить 0,585 мкг/мл, сполуки **II** – 1,17 мкг/мл. Встановлено, що при модифікації піримідинового циклу залишком естера 4-гідрокси-3,5-дібромофенілоцтової кислоти (сіль **III**), antimікробна активність щодо *S. aureus* нівелювалася (МІК > 200,0 мкг/мл). Згідно з результатами проведених експериментів, сполуки **I-III** не виявляють антисиньогнійної активності, значення МІК щодо *P. aeruginosa* 449 становило  $\geq 200,0$  мкг/мл.

Таким чином, отримані дані свідчать про перспективність подальшого пошуку сполук з antimікробною дією серед фосфонієвих похідних.

Робота виконана за фінансової підтримки Національного фонду досліджень України в рамках проекту 2021.01/0022.

#### Література:

1. Chavarria D., Borges A., Benfeito S., Sequeira L., Ribeiro M. (2023). Phytochemicals and quaternary phosphonium ionic liquids: Connecting the dots to develop a new class of antimicrobial agents. *J. Adv. Res.* <https://doi.org/10.1016/j.jare.2023.02.004>
2. Ermolaev V.V., Arkhipova D.M., Miluykov V.A. (2022). Sterically hindered quaternary phosphonium salts (QPSs): Antimicrobial activity and hemolytic and cytotoxic properties. *Int. J. Mol. Sci.* 23, 86. <https://doi.org/10.3390/ijms23010086>
3. Van Meervelt L., Smolii O.B., Mishchenko N.I. (1996). A challenging synthetic approach to phosphonium ylide-betaines of the pyrimidine series. *Tetrahedron.* 26, 8835-8852. [https://doi.org/10.1016/0040-4020\(96\)00425-5](https://doi.org/10.1016/0040-4020(96)00425-5)
4. European Committee on Antimicrobial Susceptibility Testing. Routine and extended internal quality control for MIC determination and disk diffusion as recommended by EUCAST: Version 12.0. EUCAST, 2022. 23 p.